

## تحضير معدات جديدة لـأيونات كل من (Fe(III), Co(II), Cu(II))

## مع لیکاند ثنائی ثایوکار بامیت و دراستها طیفیاً

أ.د.حسين جاسم محمد\*      أ.د.رحيم طاهر مهدي\*\*      م.م ثناء عبد الامير هلال\*\*\*

جامعة الكوفة/كلية العلوم/قسم الكيمياء,\*\*جامعة المستنصرية,\*\*جامعة الكوفة/ كلية التربية/ قسم الكيمياء

## **الخلاصة**

المقدمة

تميزت المركبات المحتوية على الكبريت وخصوصاً لـ ليكандات الثنائي ثايووكارباميت وعلاقتها مع العناصر الانتقالية بقيمتها التجارية فضلاً عن فعاليتها الحيوية الواسعة مما جذب الباحثين نحو دراسة كيميائهما والتعرف على خواصها، ان العديد من عقدات العناصر الانتقالية المحضررة مع ليكандات الثنائي ثايووكارباميت الاليفاتية والاروماتية لها تطبيقات واسعة في مجالات عديدة في الطب استعملت في تخليق الادوية المضادة للفطريات والمبايكروبات كذلك استعملت في المجال الزراعي كمبيدات للآفات الزراعية و الاعشاب الضارة والادغال والحشرات<sup>(1)</sup>. تعد ايونات الثنائي ثايووكارباميت ( $R_1R_2NCS_2$ ) من القواعد اللينة (Soft base) وهي احدى ليكандات الكليتية المهمة في الكيمياء التناسفية و غالباً ما تسلك ليكандات هذه المركبات سلوك ليكандات ثنائية السن قد تكون بشكل متماثل او غير متماثل (أي مشاركة تاصرية غير متساوية لذرتى الكبريت للمجموعة نفسها) وبالرغم من سلوك ليكандات الثنائي ثايووكارباميت بشكل ثنائية السن في الغالبية العظمى من المعقدات المحضررة غير ان سلوكها بشكل احادي السن مشخص ايضاً و غالباً ما يكون سبب هذا السلوك هو الاعاقة الفراغية حول ذرة الفلز المركزي<sup>(2)</sup>. تُعد ليكандات الثنائي ثايووكارباميت مهمة جداً من وجهة نظر الكيمياء وذلك لتنوع استعمالاتها ولكونها تعمل على تثبيت مدى واسع من حالات الأكسدة لمختلف العناصر الفلزية وتزيد من استقرارية المعقدات الناتجة<sup>(4)</sup> وحديثاً تم تحضير العديد من مركبات الثنائي ثايووكارباميت مع العناصر الانتقالية مثل،  $Cu^{+2}, Ni^{+2}, Fe^{2+}, Mn^{+2}$ ،  $Co^{+2}$  و  $Cr^{+3}$  مع الليكанд بنتاميلين داي ثايووكارباميت (PMDTC) واستعملت في تقدير نسبة هذه الفلزات بالماء بإستعمال تقنية كروماتوكرافيا السائل العالي الاداء HPLC<sup>(5)</sup> وقد هدف البحث الى تحضير الليكанд (4-aminoantipainyl-N-dithiocarbamate) (Ammonium(4-aminoantipainyl-N-dithiocarbamate) للحصول على عقدات جديدة ومن ثم دراستها وتشخيصها بالطرق الططفة

الجزء العملي

## ١- الاجهزه المستعملة في البحث

استخدم مطياف الاشعة فوق البنفسجية – المرئية (UV-Vis) لمسح اطيف الليكанд ومعقداتها الفلزية لبناء منحنيات المعايرة باستعمال جهاز

#### UV-Visible Spectrophotometer (Shimadzu – UV-Vis 1700)

وتم قياس امتصاص المحاليل عند الاطوال الموجية التي تقابل اعلى امتصاصية في عموم التجارب باستعمال الجهاز

#### UV-Visible Spectrophotometer , TR UV 754

في جامعة الكوفة - كلية التربية

كما تم قياس اطيف الاشعة تحت الحمراء للilikand ومعقداتها الصلبة المحضرة باستعمال جهاز

#### Testscan Shimadzu FTIR 8000 series

في جامعة النهرين- كلية العلوم

كذلك تم قياس درجة الانصهار للilikand ومعقداتها المحضرة باستعمال جهاز .

#### Stuart Melting point Apparatus .

في جامعة الكوفة – كلية العلوم

تم قياس التوصيلية الكهربائية المولارية لمحاليل المعقدات المخلبية المحضرة باستعمال جهاز

#### Digital conductivitymeter Alpha – 800

في جامعة الكوفة – كلية العلوم

كذلك اجريت قياسات الحساسية المغناطيسية للمعقدات المحضرة باتباع طريقة فرداي وباستعمال جهاز.

#### Balance Magnetic Susceptibility Model – M.S.B. Auto

في جامعة النهرين- كلية العلوم

تم تعين نسب عناصر الكاربون والهيدروجين والناتيروجين والكبريت (C H N S) للilikand ومعقداتها الصلبة المحضرة باستعمال جهاز Euroverctor,EA 300 A,Italy ..

في جامعة الكوفة-المختبر المركزي

كما تم تعين تركيز الأيونات الفلزية لبعض المعقدات المحضرة باستعمال تقنية الامتصاص الذري اللاهي باستعمال جهاز :-

#### AA-6300 SHIMADZU.

في جامعة الكوفة-المختبر المركزي

#### 2-المواد الكيميائية

يوضح الجدول (1) أهم المواد الكيميائية المستعملة في البحث ودرجة نقاوتها والشركات المصنعة لها.

#### تحضير الليكанд

حضر الليكанд من خلال مفاعلية  $\text{CS}_2$  مع ثائي كبريتيد الكاربون antipyrine (1-phenyl-2,3-dimethyl-4-amino) يوجد هيدروكسيد الامونيوم بدرجة 5°C وبعد ذلك صعد المزيج لمدة ساعة وترك لمدة 4-2 أيام بعدها رُشح الراسب وغسل عدة مرات بالايثر وترك ليجف ثم أعيدت بلورته وحسبت النسبة المئوية له والشكل 1 يوضح طريقة تحضير الليكанд.

### تحضير المعقادات الصلبة

تم تحضير المعقادات الكليتية الصلبة اعتماداً على الظروف الفضلى التي تم التوصل اليها حيث كانت النسبة المولية (1:2) (الليكанд:فلز) لجميع المعقادات المحضرة اذ تم تحضير المعقاد  $[\text{Fe}(\text{APDTC})_2\text{Cl}]$  من اضافة 0.004 مول، 1.184 غم من الليكанд المذاب في الايثانول المطلق بصورة تدريجية مع التحريك المستمر الى 0.002 مول، 0.540 غم من كلوريد الحديديك المذاب في الايثانول المطلق حيث تغير اللون لحظة المزج الىبني محمر بعد ذلك صعد المزيج لمدة ساعة وترك ليجف واعيدت بلورته بعدها تم حساب النسبة المئوية و درجة الانصهار له . كما تم تحضير المعقاد  $[\text{Cu}(\text{C}_{12}\text{H}_{12}\text{N}_3\text{S}_2\text{O})_2]$  من اضافة 0.004 مول، 1.184 غم) من الليكанд المذاب في الايثانول المطلق بصورة تدريجية مع التحريك المستمر الى 0.002 مول، 0.483 غم) من تراتات النحاس المذاب في الايثانول المطلق حيث تغير اللون لحظة المزج الى الاخضر ومن ثم جرى تصعيد المزيج لمدة ساعة وترك ليجف واعيدت بلورته بعدها تم حساب النسبة المئوية و درجة الانصهار له اما المعقاد  $[\text{Co}(\text{APDTC})_2\text{Cl}]$  فقد تم تحضيره من اضافة 0.004 مول، 1.184 غم) من الليكанд المذاب بالايثانول بصورة تدريجية مع التحريك المستمر الى 0.002 مول، 0.295 غم) من كلوريد الكوبالت(II) المذاب بالايثانول حيث لوحظ ظهر راسب بنفسجي اللون لحظة المزج بعد ذلك صعد المزيج حرارياً لمدة ساعة بدرجة حرارة 70°C وترك الناتج في زجاجة ساعة ليجف ثم جمع الراسب وأعيدت بلورته وتم حساب النسبة المئوية و درجة الانصهار له .

### النتائج والمناقشة

#### تشخيص الليكанд ومعقاداتها الفلزية

اظهر طيف الاشعة فوق البنفسجية لمحلول الليكанд قمة امتصاص واضحة تمثل اعظم امتصاص عند الطول الموجي 240 نانومتر تعود الى انتقالات ( $\pi \rightarrow \pi^*$ ) العائدة لحلقة الفنيل الاروماتية وتمثل هذه الحزمة ( $\lambda_{max}$ ) في حين اظهرت المعقادات امتصاصاً ملحوظاً عند الاطوال الموجية 363, 363, 520,439 كل من معقادات الحديد والنحاس والكوبالت على التوالي وان حدوث هذه الازاحة الكبيرة في قمة الامتصاص بالإضافة الى التغير الواضح في الوان المعقادات يدل على حدوث عملية التنسق والجدول (2) يوضح الخصائص الفيزائية للليكанд ومعقاداتها الفلزية.

#### تعيين تكافؤية المعقادات (نسبة الليكанд: الفلز)

تعد طريقة النسب المولية (Mole ratio method)<sup>(6)</sup> من الطرق المهمة المستعملة في تحديد نسبة (الفلز:الليكанд) فهي الاكثر شيوعاً في تحديد صبغ المعقادات الذائبة لما تتمتع به من سهولة وبساطة حيث تتلخص بقياس الامتصاصية لسلسلة من محليلات المعقادات على كميات متزايدة من احدى المكونتين وهي مكونة الليكанд(تركيز الليكанд) مع ثبوت المكونة الاخرى وهو(تركيز الايون الفلزى) عند الطول الموجي ( $\lambda_{max}$ ) المعين سلفاً اذ اظهرت النسبة المولية (نسبة الليكанд: الفلز) (1:2) لكل من المعقادات المحضرة في هذه الدراسة. ويوضح الجدول (3) العلاقة بين الامتصاصية والنسبة المولية لمحلول المعقادات عند( $\lambda_{max}$ ) و التركيز الافضل لكل منها والاشكال من 2 الى 4 توضح منحنيات النسب المولية (الليكанд: الفلز) للمعقادات المحضرة.

#### حساب ثابت الاستقرار للمعقادات

يمكن استعمال الطرق الطيفية في حساب ثوابت الاستقرار لاسيماء اذا كانت المعقادات المعنية ملونة<sup>(7)</sup> حيث يمكن الاستفاده من دراسة النسب المولية التي ورد ذكرها آنفاً في حساب ثابت الاستقرار للمعقادات المحضرة وذلك باستغلال قيم الامتصاص المستحصل عليها من محليل مزج الليكанд مع الايون الفلزى المراد حساب ثابت استقراره .

وعليه فقد تم حساب ثابت الاستقرار للمعقادات المحضرة في محليلها وفقاً للمعادلات الآتية<sup>(8)</sup> :

$$\beta = 1 - \alpha / 4\alpha^3 c^2 \quad \dots \dots \dots \quad (1)$$

تم حساب قيم ( $\beta$ ) التي تمثل ثابت التكوين (او ثابت الاستقرار) للمعقادات الكليتية من المعادلة (1) بعد حساب قيمة ( $\alpha$ ) التي تمثل (ثابت التفكك) من المعادلة (2) :

$$\alpha = \text{Am-As/Am} \quad \dots\dots\dots(2)$$

اذ ان :  $(\text{As})$  = قيمة الامتصاص عند النسبة المولية المختارة للمعدن .

$(\text{Am})$  = قيمة الامتصاص عند وجود زيادة من مكونة الليكائد في محلول .

$c$  = تركيز المعدن الذي يكافئ تركيز الملح للايون الفلزى المستعمل( التركيز الامثل لكل ايون فلزى) .

وتبين الجدول (4) و(5) قيم كل من  $\alpha$  و  $\beta$  و  $\text{Log } (\beta)$  و  $\text{Am}$  للمعدات الكليتية المحضرة بالإضافة الى العلاقة بين الامتصاصية والنسبة المولية لمحاليل الليكائد والمعدات الكليتية المحضرة عند  $(\lambda_{max})$  و التركيز الافضل لكل منها.

#### التوصيلية المولارية

تم قياس التوصيلية المولارية لمحاليل المعدات الصلبة للايونات موضع الدراسة مع الليكائد (APDTc) بتركيز  $(10^{-3} \times 1)$  مولاري في مذيب (DMSO) وفي درجة حراره ( $25^\circ\text{C}$ ) وقد ادرجت النتائج في الجدول (6) حيث تبين من الدراسة انعدام الصفة الايونية لهذه المعدات وقد اعطت النتائج دعماً للصيغة الجزيئية المقترحة وتتفق القيم المستحصلة لمحاليل هذه المعدات مع ما ورد في الادبيات<sup>(9)</sup> بشأن التوصيل المولاري لمعدات خالية من أي صفة ايونية وهذا يشير الى ارتباط الليكائد بشكل ايون سالب احادي بعد فقدان مجموعة  $(\text{NH}_4^+)$  المتصله بالكبريت .

#### القياسات المغناطيسية

كما تم حساب الحساسية المغناطيسية للمعدات الكليتية المحضرة في هذه الدراسة عند درجة (298K) كما جرى تصحيح الدايماغناطيسية للذرات في الجزيئات العضوية والجذور اللاعضوية والایونات الفلزية باستعمال (ثوابت باسكال) إن قيمة العزم المغناطيسي لمعدن الحديد (III) تساوي BM (1.85) وتقع هذه القيمة ضمن مدى قيم معدات الحديد الخامسة التناصق واطئة البرم وهذا يؤكد صفة البارامغناطيسية وتتفق هذه القيم مع نتائج كثيرة من معدات الحديد (III) الواردة في الادبيات<sup>(10)</sup>,<sup>(11)</sup> لقد بينت نتائج الحساسية المغناطيسية لمعدن النحاس (II) عزماً مغناطيسياً مقداره BM (1.76) وإن هذه القيمة تدل بوضوح على وجود صفة البارا مغناطيسية الناتجة من وجود الكترون منفرد لأيون النحاس في المعدن وبذلك يمكننا اقتراح شكل المربع المستوي لمعدن النحاس وهذا يتتفق مع ما ورد في الادبيات<sup>(13,14)</sup>, وقد أظهر معدن الكوبالت صفات دايماغناطيسية مما يدل على تغير حالة الاكسدة للأيون المشار اليه من حالة الاكسدة الثانية الى الثلاثية وبذلك يمكن ان يتآخذ المعدن شكل هرم مربع القاعده وهذا موافق لما ورد في الادبيات بشأن سلوك الكوبالت (II) في معداته وخصوصاً مع ليكائدات الثنائي ثايوكارباميت حيث غالباً ما يتآكسد الى الكوبالت (III) حتى في الظروف التجريبية الخالية من الاوكسجين<sup>(15)</sup>.

وقد أثبتت النتائج المستحصل عليها في الجدول (6) بأنها تتفق مع الصيغة التركيبية المقترحة لـ كل من معدات الحديد (III) والنحاس (II) والكوبالت (II).

#### التحليل الدقيق للعناصر

تعتبر تقنية التحليل الدقيق للعناصر إحدى الطرق المهمة لتشخيص المعدات الكليتية الصلبة المحضرة ، حيث يتم من خلالها حساب نسبة عدد ذرات الكاربون والهيدروجين والناتيروجين وال الكبريت في المركبات المحضرة كما حُسبت نسب العناصر الفلزية في معداتها باستخدام تقنية الامتصاص الذري اللهبي وقد ادرجت نتائج التحليل المذكورة آنفاً في الجدول (7) . وعند مقارنة القيم المستحصلة عملياً بتلك القيم المحسوبة نظرياً يتبين بشكل جلي التقارب الكبير بينهما مما يؤكد صحة النسب المولية المضافة من (الفلز: الليكائد) وهي بعد ذلك تدعم صحة الصيغة المقترحة للمعدات الكليتية المحضرة.

في دراستنا الحالية أظهرت نتائج طيف الاشعة فوق البنفسجية -المرئية لمحلول الليكائد المذاب في الايثانول ان أعلى قيمة امتصاص كانت عند الطول الموجي (249nm) وعند مقارنتها بأطيف محاليل المعقادات الفلزية موضوع الدراسة لوحظ حدوث تغير في اللون من الأصفر الفاتح (لون الليكائد) الى البني المحمر بالنسبة لمحلول معقد الحديد (III) واللون الأخضر بالنسبة لمعقد النحاس(II) والبنفسجي بالنسبة لمعقد الكوبالت (II) وقد صاحب هذا التغير اللوني ازاحة حمراء كما ان ظهور حزم امتصاص جديدة يدل على حصول عملية تناسق بين الايون الفلزي و الليكائد<sup>(19)</sup>

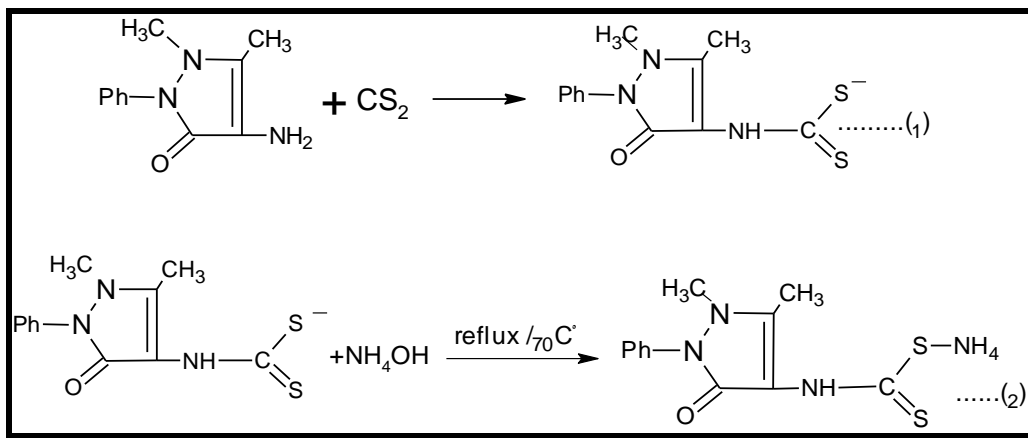
والاشكال من 5 الى 8 توضح اطيف الاشعة فوق البنفسجية لمحاليل الليكائد والمعقدات.

#### أطيف الاشعة تحت الحمراء

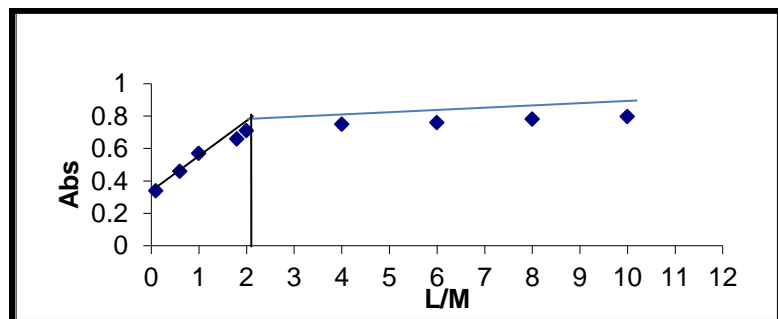
نظرا لأهمية أطيف الاشعة تحت الحمراء في تشخيص دراسة ليكائد الثنائي ثايووكارباميت ومعقداتها مع العناصر الانتقالية ، فقد كانت وما تزال موضوعاً للعديد من البحوث اذ انصب الاهتمام في اغلب الاحيان على تعين موقع حزم الامتصاص الناتجة عن اهتزازات مط المجاميع (M-S-C-S-N-C) اذ ان (M = ذرة احد الفلزات) في مركبات الثنائي ثايووكارباميت . وقد أظهرت أطيف المعقادات تشابهاً فيما بينها الى حد ما ولكنها اختلفت عن طيف الليكائد عموماً، كما أظهرت أطيف المعقادات اختلافاً في شدة الحزمة مقارنة بحزم الليكائد، فضلاً عن حصول ازاحات متباينة لمعظمها، فقد أظهر طيف الليكائد حزمة مفردة في الموقع (1064cm<sup>-1</sup>) تعود الى اهتزازات المجموعة S=C في حين ظهرت اهتزازات هذه المجموعة في أطيف المعقادات عند الموقع (1072 و 1083 cm<sup>-1</sup>) كذلك أظهر طيف الليكائد وجود حزمة عند الموقع (999cm<sup>-1</sup>) عائده الى اهتزازات مجموعة C-S فيما أظهرت أطيف المعقادات حزماً عائده الى اهتزازات هذه المجموعة في المدى (962-991cm<sup>-1</sup>) وتدل هذه التغيرات على حدوث عملية التناسق عن طريق ذرتى الكبريت مع الايون الفلزي لتكوين المعقادات<sup>(23-20)</sup> وقد لوحظ ظهور حزمة جديدة عند التردد (410cm<sup>-1</sup>) وهذه الحزمة تعود الى تناسق فلز الحديد (III) مع الليكائد المحضر وكذلك ظهرت حزمة عند التردد (412cm<sup>-1</sup>) تعود الى تناسق فلز النحاس (II) مع الليكائد المحضر كما ظهرت حزمة عند التردد (418cm<sup>-1</sup>) تعود الى تناسق فلز الكوبالت (II) مع الليكائد المحضر<sup>(24)</sup>.

وقد لوحظ ظهور حزم في أطيف المعقادات مشابهة تقريباً لطيف الليكائد والعائدة الى اهتزازات كل من مجاميع N-H,C=O,C=N وان هذا التشابه الواضح في موقع وشدة وشكل الحزم يدل على عدم حدوث عملية التناسق بين الايون وهذه المجاميع<sup>(24,25)</sup>. وقد ادرجت اهم الحزم الرئيسية لطيف الليكائد والمعقدات الكليتية المحضر في جدول (8) اما الاشكال من شكل رقم 9 ولغاية الشكل رقم 12 توضح طيف الاشعة تحت الحمراء لليكائد والمعقدات الكليتية المحضرة .

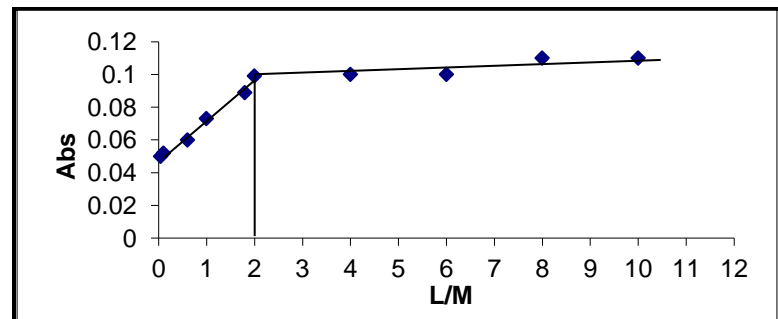
ومما تقدم من معطيات القياسات التشخيصية المذكوره آنفاً للمعقادات الكليتية المحضر في دراستنا هذه وبالاعتماد على ما ورد في الادبيات<sup>(33,6)</sup> حول موقع التناسق المتاحة في الليكائد وكيفية ارتباطه مع الايونات الفلزية يمكن الاستنتاج بأن الليكائد ثنائية السن اذ تناسقت عن طريق ذرتى الكبريت بذلك يمكننا وضع الصيغة التركيبية المقترحة والشكل الفراغي للمعقادات موضع الدراسة، حيث يتخذ كل من معقدي الحديد والكوبالت شكل هرم مربع القاعدة بينما يتخذ معقد النحاس شكلاً مربعاً مستويأً و الاشكال 13 و 14 توضح الاشكال الفراغية المقترحة للمعقادات المحضرة.



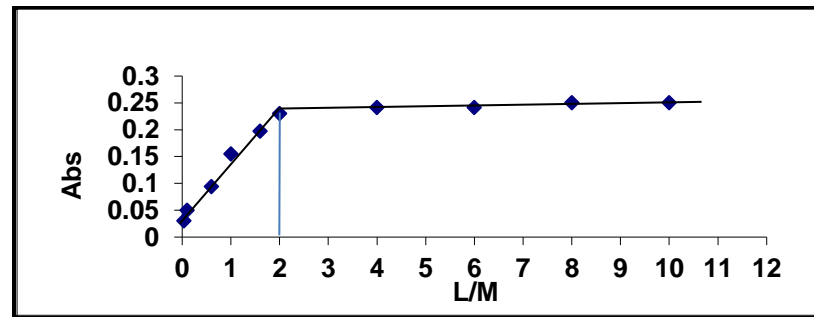
شكل 1: مخطط سير التفاعل لتحضير الليكанд



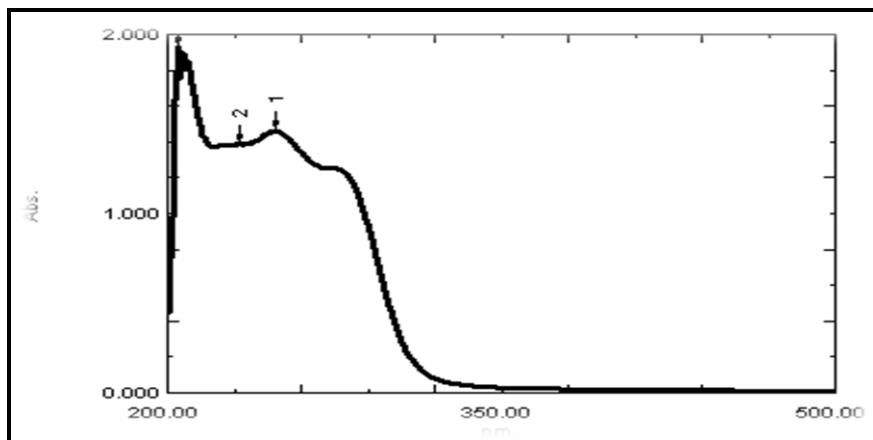
شكل 2: منحني النسب المولية لتعيين نسبة فلز الحديد (III) الى الليكанд (APDTC) عند الطول الموجي (363 nm)



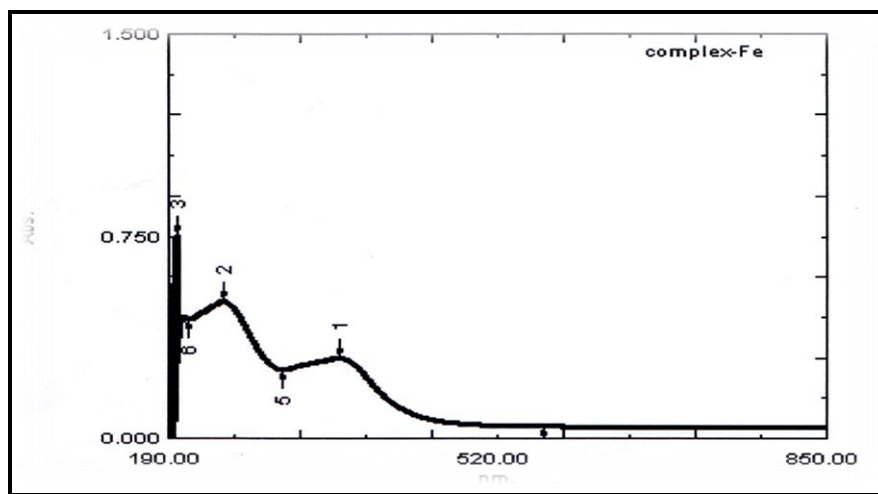
شكل 3: منحني النسب المولية لتعيين نسبة فلز الكوبالت (II) الى الليكанд (APDTC) عند الطول الموجي (520 nm)



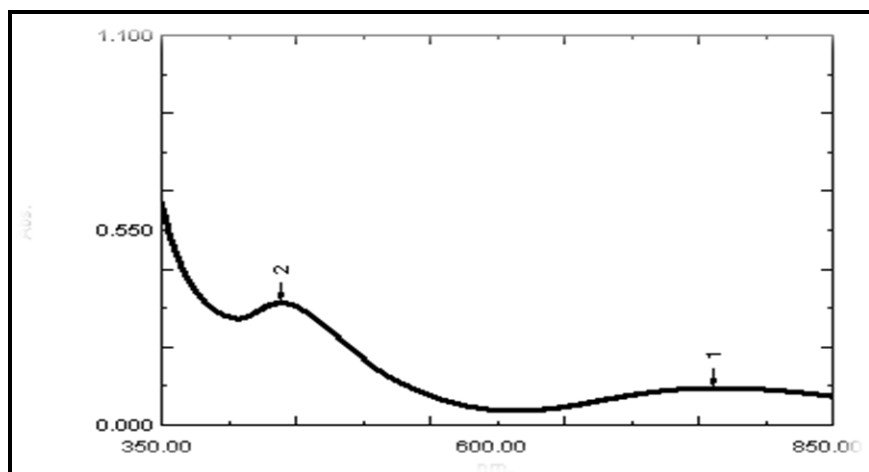
شكل 4: منحني النسب المولية لتعيين نسبة فلز النحاس (II) الى الليكанд (APDTC) عند الطول الموجي (449 nm)



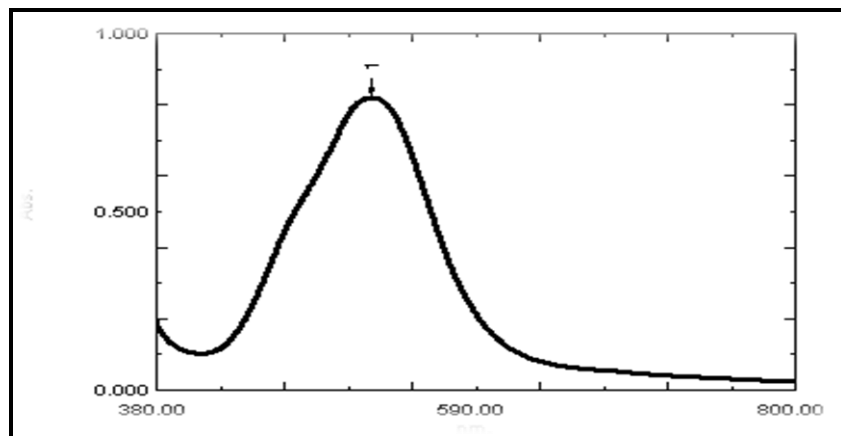
شكل 5: طيف الأشعة فوق البنفسجية- المرئية لمحلول لليكائد (APDTc)



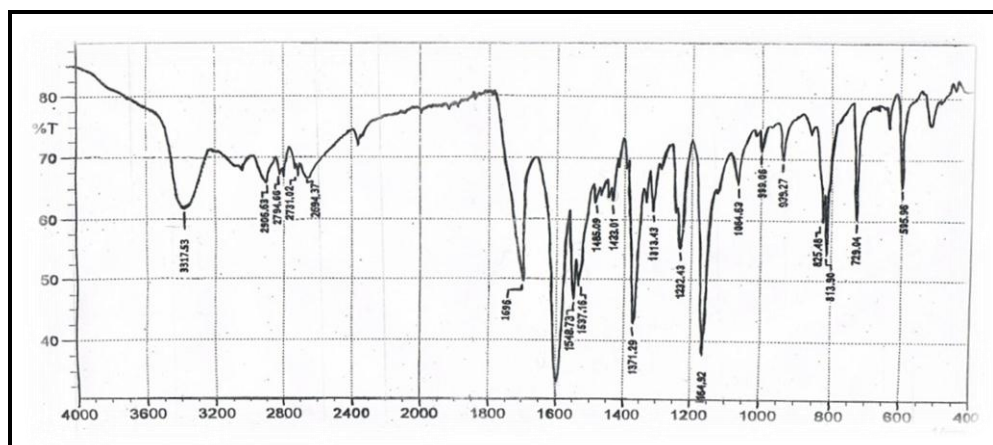
شكل 6: طيف الأشعة فوق البنفسجية- المرئية لمعقد الحديد (III)



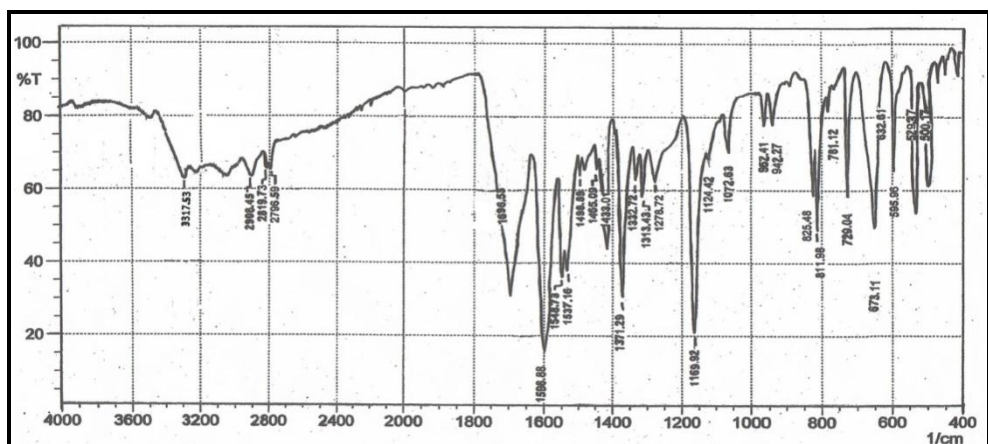
شكل 7: طيف الأشعة فوق البنفسجية- المرئية لمعقد النحاس (II)



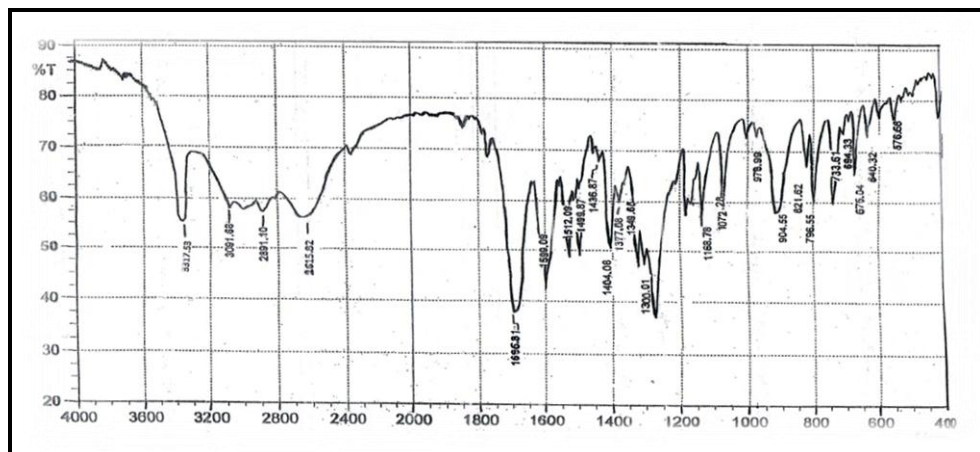
شكل 8 : طيف الأشعة فوق البنفسجية- المرئية لمعقد الكوبالت (II)



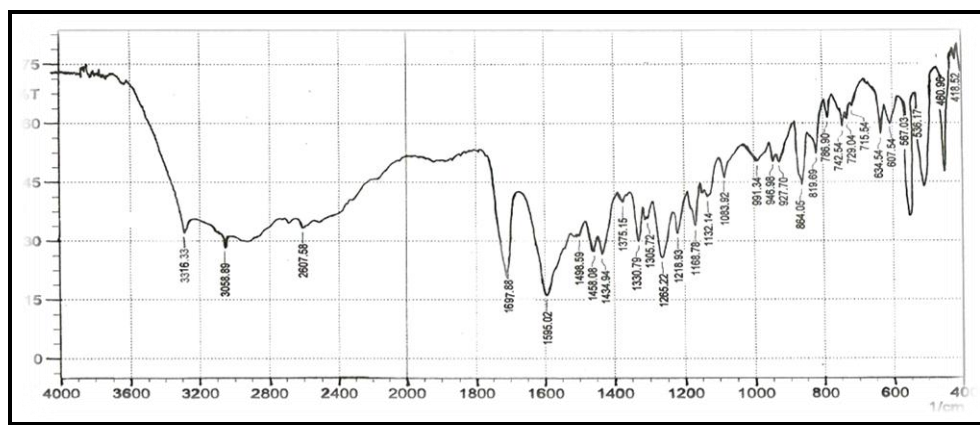
شكل 9: طيف الاشعة تحت الحمراء للنيكانت (APDTC)



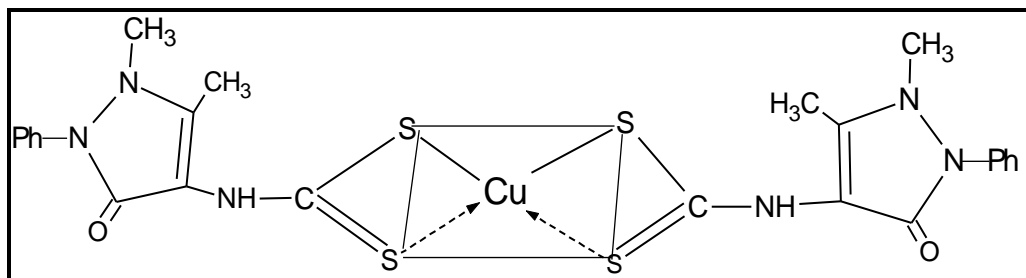
شكل 10: طيف الاشعة تحت الحمراء لمعقد النحاس(II)



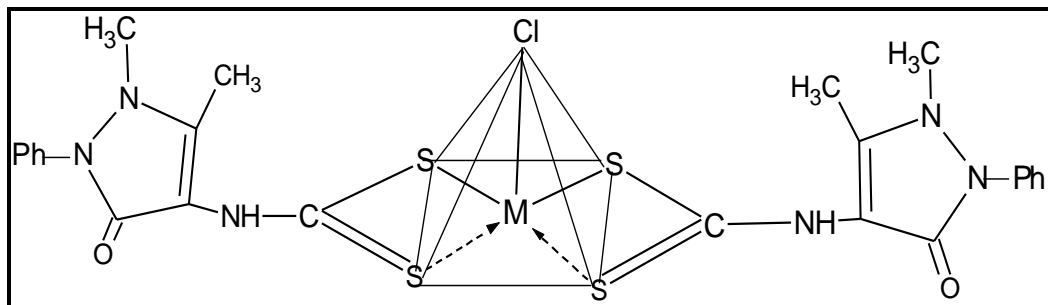
شكل 11: طيف الاشعة تحت الحمراء لمعقد الحديد (III)



شكل 12: طيف الاشعة تحت الحمراء لمعقد الكوبالت (II)



شكل 13: الشكل الفراغي المقترن لمعقد النحاس (II) مع الليكанд (APDTA)



شكل 14: الشكل الفراغي المقترن لمعقدي الحديد (III) و الكوبلت (II) مع الليكанд (APDTA) حيث  $M=Co^{+2}$ ,  $Fe^{+3}$

**جدول 1: المواد الكيميائية المستعملة في البحث ودرجة نقاوتها والشركات المصنعة لها.**

Seq.	Substance	Formula	Company	Purity %
1-	Ammonium hydroxide	NH <sub>4</sub> OH	B. D. H	99.99 %
2-	Copper Nitrate.tri hydrate	Cu(NO <sub>3</sub> ) <sub>2</sub> .3H <sub>2</sub> O	B. D. H	99.00%
3-	Cobalt(II)Chloride.hydrate	CoCl <sub>2</sub> .H <sub>2</sub> O	B.D.H	99.00%
5-	Carbon disulfide	CS <sub>2</sub>	Fluka	99.00%
6-	Dimethyl Sulfoxide (DMSO)	C <sub>2</sub> H <sub>6</sub> SO	B. D. H	98.00%
7-	Ethanol	C <sub>2</sub> H <sub>5</sub> OH	B. D. H	(25)*
8-	Ether	C <sub>4</sub> H <sub>10</sub> O	Fluka	99.00%
9-	Ferric Chloride.hexahydrate	FeCl <sub>3</sub> .6H <sub>2</sub> O	B. D. H	96.00%
10-	1-phenyl-2,3-dimethyl-4-amino antipyrine	C <sub>11</sub> H <sub>11</sub> N <sub>3</sub> O	Riedel-Dehaeng Seelz-Hannover	99.9 0%

**الجدول 2: الخصائص الفيزيائية لليكاند ومعقداته الفلزية**

الصيغه الجزيئية	$\lambda_{max}$	اللون	درجة التفكك	النسبة المئوية للناتج
C <sub>12</sub> H <sub>16</sub> N <sub>4</sub> S <sub>2</sub> O	240	اصفر	208	83%
[Fe(C <sub>12</sub> H <sub>12</sub> N <sub>3</sub> S <sub>2</sub> O) <sub>2</sub> Cl]	363	بني محمر	214	84%
[Cu(C <sub>12</sub> H <sub>12</sub> N <sub>3</sub> S <sub>2</sub> O) <sub>2</sub> ]	439	اخضر	( 98-100)*	63%
[Co( C <sub>12</sub> H <sub>12</sub> N <sub>3</sub> S <sub>2</sub> O) <sub>2</sub> Cl]	520	بنفسجي	123	69%

\* درجة انصهار

جدول 3: قيم الامتصاصية لمحاليل المعقدات عند ( $\lambda_{max}$ ) المقابلة للنسبة المولية (الفلز: الليكاند) بتركيز  $(5 \times 10^{-4})$  مولاري بالنسبة للأيون الفلزي.

Abs of Complexs	L/M	0.04	0.1	0.6	1	1.8	2	4	6	8	10
Fe(III)	0.25	0.34	0.46	0.57	0.66	0.71	0.75	0.75	0.758	0.786	0.786
Co(II)	0.05	0.05	0.06	0.073	0.089	0.09	0.10	0.11	0.11	0.11	0.25
Cu(II)	0.03	0.05	0.09	0.15	0.19	0.23	0.24	0.25	0.25	0.25	0.25

الفلز = M, الليكاند = L

جدول 4: قيم الامتصاصية عند النسب المولية المختارة مع قيم ثوابت الاستقرار للمعقدات الكلية المحضرة.

Metal ion complex	As	Am	$\alpha$	$\beta$	Log $\beta$
[Fe(APDTC) <sub>2</sub> Cl]	0.711	0.788	0.0977	$0.757 \times 10^9$	8.879
[Co(APDTC) <sub>2</sub> Cl]	0.099	0.11	0.11	$0.075 \times 10^{10}$	8.875
[Cu(APDTC) <sub>2</sub> ]	0.23	0.25	0.08	$0.149 \times 10^{10}$	9.173

جدول 5: العلاقة بين الامتصاصية والنسب المولية لمحاليل المعقدات الكلية المحضرة عند التركيز الأفضل و( $\lambda_{max}$ ) لكل منها.

Compound	( $\lambda_{max}$ )nm	Metal:Ligand	Abs	Conc.
[ Fe(APDTC) <sub>2</sub> Cl]	363	1:2	0.71	$5 \times 10^{-4}$
[Co(APDTC) <sub>2</sub> Cl]	520	1:2	0.099	$5 \times 10^{-4}$
[ Cu(APDTC) <sub>2</sub> ]	449	1:2	0.230	$5 \times 10^{-4}$

جدول 6: قيم التوصيلية المولارية والحساسية المغناطيسية للمعقدات الفلزية

No	Complex	$\mu_{eff}$ BM	$\Lambda_m$ (S.mol <sup>-1</sup> .cm <sup>2</sup> )
			In (DMSO)
1	[Fe(APDTC) <sub>2</sub> Cl]	1.85	11.24
2	[Co(APDTC) <sub>2</sub> Cl]	Dia	17.76
3	[Cu(APDTC) <sub>2</sub> ]	1.76	8.68

جدول 7: نتائج التحليل الدقيق للعناصر (C H N S) لكل من الليكاند (APDTC) والمعقدات المحضرة مع النسبة المئوية للأيونات الفلزية قيد الدراسة المقاسة بجهاز الامتصاص الذري الذهبي.

Compound	C %		H %		N %		S %		M %	
	نظري	عملي	نظري	عملي	نظري	عملي	نظري	عملي	نظري	عملي
(APDTC)	48.64	46.98	5.40	5.10	18.91	18.5	21.62	20.7	--	--
[Fe( APDTC) <sub>2</sub> Cl]	44.49	43.99	3.70	3.43	12.97	12.5	19.77	19.3	8.620	8.620
[Co( APDTC) <sub>2</sub> Cl]	44.27	43.53	3.68	3.51	12.91	11.3	19.57	18.3	9.577	9.576
[Cu( APDTC) <sub>2</sub> ]	46.48	46.11	3.87	3.12	13.55	13.2	20.66	19.5	10.256	10.255

جدول 8: قيم ترددات الاشعة تحت الحمراء بوحدة (cm<sup>-1</sup>) لليكائد ومعقداته الفلزية المحضرة.

المركبات	C=S	C-S	N-H	C=O	C-N	M-S
(APDTC)	1064	999	3317	1696	1433	---
[Fe( APDTC) <sub>2</sub> Cl]	1072	978	3317	1696	1436	410
[Cu( APDTC) <sub>2</sub> ]	1072	962	3317	1696	1433	412
[Co( APDTC) <sub>2</sub> Cl]	1083	991	3316	1697	1434	418

# **Synthesis New Metal Complexes (Fe(III),Co(II),Cu(II))with New Ligand of dithiocarbamate & Spectrophotometric Study of their**

**\*Prof.Dr.Hussain.J.M \*\* Prof.Dr.Raheem.T.M \*\*\*Assist.Lectu.Thanaa.A.H**

**\*Chem.Depart., Science College.Kufa.Univ.\*\*Mustansirya.Univ.\*\*\* Chem.Depart.,  
Education College. Kufa Univ.**

## **Abstract**

This study involved preparation of new ligand as( ammonium( 4-amino antipyriyl -N-dithiocarbamate) (APDTC) was prepared by reacting of (1-phenyl-2,3-dimethyl-4-amino antipyrine) with carbon disulfide ( $\text{CS}_2$ ) in the presence of ammonium hydroxide .With this ligand, three metal complexes of Cu(II),Co(II) and Fe (III) were also synthesized under the established optimum conditions. A number of experimental techniques (such as IR, UV-Vis spectrophotometry, conductometry etc) were used to determine a crucial characterization and determination of the structures of these compounds. The data shows that the both complexes combin in molar ratio(metal ion to ligand) of 1:2 and the stability of the complexes were studies.The conductivity and magnetic susceptibility data reveals that the both complexes were non-ionic in DMSO and paramagnetic in their nature the chemical structures of the Fe (III) and Cu (II)complexes were also suggested.

## References

- 1) Didarul A.Mohammad N.and Rahman K.M.L.,[2006]"Synthesis and Characterization of Dioxo-molybdenum (VI)Complexes of Dithiocarbamates", J.Science.33(3).357-362.
- 2) Islami-Moghaddam M.Mansouri-Torshizi H.Divsalar A. and Saboury A.A.,[2009]"Synthesis Characterization,Cytotoxic and DNA Binding Studies of Diimine Platinum(II) and Palladium(II) Complexes of ShorHydrocarbon chain Ethyl dithiocarbamat Ligand", J.Chemical Society.(3).552-569.
- 3) Indah R., Ibrahim B. & Bohari M. Y.[2006]" New mixed ligands Complexes of Samarium(III) with Dithiocarbamates and 1,10-phenanthroline", Vol 10, No 1.93-98.
- 4) Khwaja S. Shahab A.A ;Lutfullah and Yonas Ch.[2006] "Template synthesis of symmetrical transition metal Dithiocarbamates ".J.Brazilian Chemical Society .17.no.1.
- 5) Muhammad A.A.Feroza H.W. Muhammad H.S.Allah B.Gh.Syed A.T.Jared I. AND Shahnila A.A.[2009]"Simultaneous Determination of Metal Ions as Complexes of Pentamethylene Dithiocarbamate in Indus River Water" ,Pakistan .Arabian J.Chemistry .2.No.1.43-48.
- 6) AL-Hydary A.[1992]' Analytical Chemistry", Baghdad University .
- 7)Sutton D.[1968]"Electronic Spectra of Transition Metal Complexes".Mc Graw Hill Publishing Co.London.11 .146.
- 8) Al-Ghabsha T.S. and Al-Abaich M.G.i[1986]"Fundamentals of Analytical Chemistry", P.346.
- 9) Campos A. Anacona J.R. and Campos M.M.[1999]" Synthesis and IR Study of a Zn(II) Complex Containing aTetradentate Macrocyclic Schiff Base Ligand Antifungal Properties" ,Main Group Met.Chem.,22,283-288.
- 10)E. Cervone, F. Diomedi-Camassci, M.L. Luciani and G. Furlani.[1969],J. Inorg. Nucl. Chem. 31, 1101.
- 11)T.M.O.Hendrickson .D.N, and Sinn.E.[ 1985],Inorg .Chem;24,3947.
- 12)D.Nicholls.[1973]" The chemistry of Iron ,Cobalt and Nickel. pergomon press .Oxford" .1<sup>st</sup> Ed.,1090.
- 13)S.Rao and H.Reddy ;Indian .[1996],J.Chem ;35 ,683.
- 14)J. Becker, D.J. Brockway, K.S. Murray and P.J. Newman.[1982] ,Inorg. Chem., 21, 1791.
- 15)S.A.Raoofe .[2004],M.Sc.Thesis,University of Mosul.
- 16)T.K.Shokireva and J.R.Palam, [1997]"2D NMR Investigations of the Rotation of Axial Lignds in Six Coordinate Low Spin  $\text{Co}^{+3}$  and  $\text{Co}^{+2}$  with phenyl rings",J.Phys.Chem.,A101(15),2778-2786.
- 17)F.Galsbol and C.E.Shffer,[1967],Inorganic Synthesis.NewYork ,44.
- 18)J.R.Palam,T.Kh. Shokhirera ,K.V.Simonis and F.A.Wallker,[1997]"Rates of Axial Lignds Rotation in Dimagnetic  $d^6 \text{Co}^{+3}$  Tetramesityl Porphyrinates", Inorg Chem.Act.,263,109-117(Internet).
- 19) Campos A. Anacona J.R. and Campos M.M.[1999]"Synthesis and IR Study of a Zn(II) Complex Containing aTetradentate Macrocyclic Schiff Base Ligand Antifungal Properties" ,Main Group Met.Chem.,22,283-288.
- 20) Najm L .G.[2005] " Preparation and Characterization of some first Transition Metal Complexes in addition to zinc with dithiocarbamat Ligand" M.Sc. Thesis,University of Mosul.

- 21) Mohammed A . F[2005]"Prepration and Study of Some Transition and non-, Transition Metal Complexes with Thiuram Disulfid ,Dithiophosphate and dithiocarbamat Ligands" M.Sc.Thesis,University of Mosul.
- 22) Hameid Kh. N [2005]" Preparation and Study of Some Transition Metal Complexes Of Oxidation State (III) and (IV) With Suiphur and Nitrogen Donor Ligands",M.Sc.Thesis,University of Mosul.
- 23) Ahmad SH. A.[2005]"Preparation and Study of Some Hydrazine Dithiocarboxylate Complexes of Tin(IV) and Bismuth (III) by Oxidative-Addition Method",M.Sc.Thesis,University of Mosul.
- 24) Nakamoto.K.[1997]"Infrared and Raman Spectra of Inorgani and Coordination Compounds "5th Ed., Wiley Interscience Publication, New York, Part B.
- 25) Nichollas D.[1979]"Complexes and First-Row Transition Elements", Macmillan Chemistry Text.